

اثر سطوح مختلف نانوذرات نقره، اسیدهیومیک و تنش خشکی بر جوانهزنی بذر و برخی ویژگی‌های موروفیزیولوژیک دانه‌رسن کینوا رقم Titicaca

محمود خرمی وفا^۱، محمود خرمی وفا^۲ و برکت الله ریانی^۳

۱. استادیار، گروه تولید و ژنتیک گیاهی، دانشکده علوم و مهندسی کشاورزی، دانشگاه رازی، کرمانشاه، ایران
۲. دانشیار، گروه تولید و ژنتیک گیاهی، دانشکده علوم و مهندسی کشاورزی، دانشگاه رازی، کرمانشاه، ایران
۳. دانشجوی دکتری، گروه تولید و ژنتیک گیاهی، دانشکده علوم و مهندسی کشاورزی، دانشگاه رازی، کرمانشاه، ایران

(تاریخ دریافت: ۱۴۰۱/۰۵/۲۲؛ تاریخ پذیرش: ۱۴۰۱/۰۱/۲۰)

چکیده

تشهیه مجهولی بدویزه خشکی، از مهم‌ترین عوامل کاهش رشد در مراحل رشد و نمو گیاه‌های خصوصاً مرحله جوانهزنی گیاه می‌باشد. در تحقیق در این پژوهش اثر نانوذرات نقره و اسیدهیومیک بر برخی ویژگی‌های موروفیزیولوژیک دانه‌رسن کینوا تحت تنش خشکی مورد بررسی قرار گرفت. آزمایش بصورت فاکتوریل در قالب طرح کاملاً تصادفی با سه تکرار در آزمایشگاه فیزیولوژی گروه تولید و ژنتیک دانشگاه رازی در سال ۱۴۰۰ اجرا گردید. فاکتورهای آزمایش شامل سه سطح نانوذرات نقره (صفرا، ۱۰ و ۲۰ میلی گرم بر لیتر نانوذرات نقره)، سه سطح اسیدهیومیک (صفرا، ۱۰۰ و ۳۰۰ میلی گرم بر لیتر) و سه سطح تنش خشکی (صفرا، -۶ و -۱۲ بار) بود. طبق نتایج بدست آمده، اثر مقابله بین نانوذرات نقره و اسیدهیومیک منجر به افزایش درصد جوانهزنی، سرعت جوانهزنی بذر، قدرت بذر، طول گیاهچه، ساقه چه و ریشه چه دانه‌رسن کینوا گردیده است. تحت شرایط تنش خشکی بیشترین میزان شاخص طولی بینه‌ی بذر و سرعت جوانهزنی بذر در بالاترین سطح نانوذرات نقره و اسیدهیومیک مشاهده گردید که نشان‌دهنده تأثیر مثبت نانوذرات نقره و اسیدهیومیک بر درصد جوانهزنی، سرعت جوانهزنی و شاخص طولی بینه‌ی بذر کینوا است. برخلاف نانوذرات نقره و اسیدهیومیک تنش خشکی منجر به کاهش درصد جوانهزنی و خصوصیات رشدی دانه‌رسن کینوا شد. کاهش جذب آب توسط بذر در شرایط تنش خشکی سبب کاهش فرایندیها فیزیولوژیکی و متابولیکی بذر می‌شود. نانوذرات می‌تواند به دیواره سلولی نفوذ کند و منافذ جدیدی را برای نفوذ آب در پوشته بذر ایجاد کنند و به این ترتیب سرعت جوانهزنی را افزایش دهد. با افزایش غلظت نانوذرات نقره و اسیدهیومیک میزان پروپولین، قنداهای محلول، فلکل، فلاونوئید و فعالیت آنزیم کاتالاز تحت شرایط تنش خشکی افزایش نشان داد که بیانگر نقش مثبت نانوذرات نقره و اسیدهیومیک برای افزایش تحمل به خشکی در گیاه کینوا است. در نتیجه کاربرد اسیدهیومیک در غلظت ۳۰۰ میلی گرم بر لیتر همراه با ۲۰ میلی گرم بر لیتر نانوذرات نقره برای بهبود جوانهزنی و رشد دانه‌رسن کینوا تحت شرایط تنش خشکی توصیه می‌شود.

واژه‌های کلیدی: درصد جوانهزنی، پلی‌ایلن گلایکول، پروپولین، آنزیم کاتالاز، میکروسکوب الکترونی

Effect of Different Levels of Silver Nanoparticles, Humic Acid and Drought Stress on Seed Germination and Some Morphophysiological Characteristics of Quinoa Seedlings of Titicaca Cultivar

M. Amerian^{1*}, M. Khorami Vafa² and B.A. Rabani³

1. Assistant Professor, Plant Production and Genetics Department, Faculty of Science and Agriculture Engineering, Razi University, Kermanshah, Iran
2. Associate Professor, Plant Production and Genetics Department, Faculty of Science and Agriculture Engineering, Razi University, Kermanshah, Iran
3. Ph.D student, Plant Production and Genetics Department, Faculty of Science and Agriculture Engineering, Razi University, Kermanshah, Iran

(Received: Apr. 09, 2022 – Accepted: Aug. 13, 2022)

Abstract

Environmental stresses, especially drought, are one of the most important factors in reducing growth in plant growth and development stages, especially the germination stage of the plant. As a result, in this study, the effect of silver nanoparticles and humic acid on some morphological characteristics of quinoa seedlings under drought stress was investigated. The experiment was performed as a factorial experiment in a completely randomized design with three replications in Physiology Laboratory Department of Production Engineering and Plant Genetics, Razi University in 2021. The experiment consisted of three levels of silver nanoparticles (0, 10 and 20 mg L⁻¹ AgNPs), three levels of humic acid (0, 100 and 300 mg L⁻¹) and three levels of drought stress (0, -6 and -12 bar). In this study, Titicaca cultivar was used. According to the results, the interaction between AgNPs and humic acid led to an increase in germination percentage, seed germination rate, seed vigor length index, seedling length, stem and root of quinoa seedlings. Under drought stress conditions highest amount of seed vigor length index and seed germination rate were observed in the highest level of AgNPs and humic acid, which indicates the positive effect of AgNPs and humic acid on germination percentage, germination rate and quinoa seed vigor. According to the obtained results, drought stress led to a decrease in germination percentage and growth characteristics of quinoa seeds. AgNPs and humic acid had a positive effect on germination and growth characteristics of quinoa seedlings under drought stress conditions compared to control treatment. Decreased water uptake by seed under drought stress reduces the physiological and metabolic processes of the seed. Nanoparticles can penetrate the cell wall and create new pores for water to penetrate the seed coat, thus increasing germination rate. With increasing the concentration of AgNPs and humic acid, the amount of proline, soluble sugars, total phenol, flavonoids and catalase activity under drought stress increased, indicating the positive role of AgNPs and humic acid to increase drought tolerance in quinoa. Therefore, the use of humic acid at a concentration of 300 mg L⁻¹ along with 20 mg L⁻¹ AgNPs is recommended to improve germination and seed growth of quinoa under drought stress conditions.

Keywords: Proline, Enzyme catalase, Germination percentage, Polyethylene glycol, Electron microscope

* Email: masoomehmerian@yahoo.com

انواع فعال اکسیژن را کاهش می‌دهند. علاوه بر این تجمع اسمولت‌های سازگار در شرایط تنفس خشکی از آسیب‌های اکسیداتیو جلوگیری می‌کنند. قندهای محلول، پروولین و پروتئین‌ها رایج‌ترین اسمولت‌هایی هستند که در سطح سلولی با کاهش نفوذپذیری غشا، تعادل آب گیاهان را تحت تنفس خشکی حفظ می‌کنند (Altaf *et al.*, 2022). در گونه‌های شیرین ییان (*licorice*) تنفس خشکی منجر به کاهش خصوصیات رشدی شده و فعالیت آنزیم‌های آنتی‌اسیدیانی افزایش نشان داد (Hun *et al.*, 2022). اصلاح محصولات برای تحمل به خشکی همیشه با چالش‌هایی روبرو بوده است (Karimi Afshar *et al.*, 2021). بنابراین، نیاز مستمر به توسعه روش‌های جدید برای کاهش اثرات مضر این تنفس‌ها بر گیاهان وجود دارد. اسیدهیومیک به عنوان یک اسید آلی حاصل از هوموس و دیگر منابع طبیعی بدون اثرات مخرب زیست‌محیطی برای بهبود رشد و عملکرد گیاهان بهویژه در شرایط تنفس‌های محیطی مؤثر می‌باشد (Arslan *et al.*, 2021). اسیدهیومیک به دلیل داشتن اثرات هورمونی و با تأثیر بر متابولیسم‌های گیاه و با کلات کردن (پوشش دار کردن عناصر غذایی با مواد آلی) عناصر غذایی و افزایش جذب آن‌ها رشد گیاه را تحریک می‌کند و منجر به افزایش مقاومت گیاهان به تنفس خشکی بهویژه در مناطق خشک و نیمه‌خشک می‌شود. در شرایط تنفس خشکی اسیدهیومیک رشد ریشه را تحریک کرده و جذب آب افزایش می‌یابد (Chen *et al.*, 2021). اسیدهیومیک با تنظیم اسمزی و طرفیت آنتی‌اسیدیانی باعث افزایش رشد دانه‌رست‌های ارزن (*Setaria italica*) تحت شرایط تنفس خشکی شده است (Shen *et al.*, 2022). در سال‌های اخیر، فناوری نانو مورد توجه پژوهشگران در زمینه‌های مختلف قرار گرفته است (Nejatzadeh, 2021). نانوذرات به دلیل اندازه کوچکی دارند دارای ویژگی‌های متفاوتی نسبت به نمونه‌های بالک خود هستند (Nejatzadeh, 2021). نانوذرات حلایق، سطح و واکنش پذیری بیشتری دارند (Nejatzadeh, 2021).

مقدمه

کینوا (*Chenopodium quinoa*) از تیره‌ی *Chenopodiaceae* و زیرخانواده‌ی *Amaranthaceae* گیاهی یک‌ساله است که معمولاً به منظور محصول دانه‌ای کشت می‌شود ولی از برگ‌های جوان آن به عنوان سبزی تازه و یا پخته نیز استفاده می‌شود (Shi and Gu, 2020). در ایران کشت کینوا به دلیل افزایش علاقه، توسعه بازار و پژوهش‌ها گسترش یافته است. کینوا به دلیل داشتن پروتئین گیاهی با کیفیت بالا کاندیدای امیدوار کننده برای افزایش تولید مواد غذایی در جهان است. این گیاه بومی کوه‌های آندر در بولیوی، شیلی و پرو است و به طور گسترده‌ای پذیرفته شده و مهم‌ترین تولیدکنندگان این گیاه بولیوی، پرو و اکوادور هستند. به دلیل تحمل به تنفس‌های غیرزیستی کینوا یکی از با ارزش‌ترین و مغذی‌ترین محصولات غذایی در حال حاضر شناخته شده است (Dashab and Omidi, 2021).

تنفس‌های غیرزنده یکی از دلایل اصلی از بین رفتن گیاه است که عملکرد گیاه را بیش از ۵۰٪ در سراسر جهان کاهش می‌دهد. در میان بسیاری از مهم‌ترین محصولات، کینوا برای رشد در شرایط خشک و شور مناسب است (Manaa *et al.*, 2021). در مناطق خشک و نیمه‌خشک، تنفس‌های غیرزنده مانند تنفس خشکی و شوری به دلیل رطوبت ناکافی لازم برای جوانه‌زنی در لایه‌های سطح خاک، درصد و سرعت جوانه‌زنی را به طور مؤثری کاهش می‌دهد. سرانجام، این امر منجر به استقرار ضعیف گیاهچه در این مناطق می‌شود (Yañez-Yazlle *et al.*, 2021). تجمع بیش از حد انواع اکسیژن فعال در شرایط تنفس خشکی منجر به تنفس اکسیداتیو می‌شود که با آسیب به اندامک‌های داخل سلول همراه است. آنزیم‌های آنتی‌اسیدیانی (کاتالاز، سوپراکسید دیسموتاز، گلوتاتیون ردوکتاز، آسکوربات پراکسیداز...) و ترکیبات آنتی‌اسیدیانی غیر آنزیمی (گلوتاتیون، ...) به طور مؤثری تجمع

مواد و روش‌ها

به منظور بررسی ویژگی‌های جوانه‌زنی گیاه کینوا تحت شرایط تنش خشکی، آزمایشی به صورت فاکتوریل در قالب طرح کاملاً تصادفی با سه تکرار در آزمایشگاه فیزیولوژی پردیس کشاورزی و منابع طبیعی دانشگاه رازی در سال ۱۴۰۰ اجرا گردید. آزمایش شامل سه سطح نانوذرات نقره (برند ARMINANO) (صفر، ۱۰ و ۲۰ میلی گرم بر لیتر نانوذرات نقره)، سه سطح اسیدهیومیک (برند پلت چویس) (صفر، ۱۰۰ و ۳۰۰ میلی گرم بر لیتر) و سه سطح تنش خشکی (صفر، ۶ و ۱۲-بار) بود. در این پژوهش از رقم Titicaca استفاده شد که از شرکت پاکان بذر اصفهان تهیه گردید. زمان بذرگیری کینوا سال قبل بوده است یعنی سال ۱۳۹۹ و منشاء رقم Titicaca دانمارک می‌باشد. برای هر واحد آزمایشی (پتری دیش)، ۲۵ عدد بذر یکنواخت انتخاب گردیده و ضدغونی شدند. ابتدا بذرهای جهت ضدغونی در الکل ۷۰ درصد به مدت ۵ دقیقه و بعد از آن در محلول هیپوکلریت سدیم ۱۰ درصد به مدت یک دقیقه قرار داده شده و در آخر با آب مقطر شستشو داده شدند. سپس بذرهای در داخل پتری دیش‌های به قطر ۹ سانتی‌متر حاوی یک عدد کاغذ واتمن شماره یک گذاشته شد و هر پتری به عنوان یک تکرار از تیمارهای مورد آزمایش در نظر گرفته شد. در هر یک از پتری‌ها با توجه به آزمایش مورد نظر به میزان ۶ سی‌سی از محلول تیمارها شامل نانوذرات نقره، اسیدهیومیک و پلی اتیلن گلایکول ۶۰۰۰ اضافه شد. به طوری که بذرهای در محلول غوطه‌ور نبوده و سپس پتری دیش‌ها در ژرمنیاتور به مدت ۱۴ روز با دمای ۲۵ درجه سانتی‌گراد و رطوبت نسبی ۴۰ درصد قرار داده شد (Gholami et al., 2022).

جهت ارزیابی اثر تیمارهای آزمایشی روزانه (هر ۲۴ ساعت) تعداد بذرهای جوانه‌زده به صورت تجمعی شمارش شد. معیار جوانه بذر خروج ریشه‌چه به طول تقریبی سه میلی‌متر بود. در پایان روز ۱۴ اندازه‌گیری صفات درصد جوانه‌زنی، میانگین جوانه‌زنی روزانه،

نانوذرات در غلظت‌های خاص به دلیل تولید گونه‌های فعال اکسیژن و نیتروژن ممکن است اثرات سمی زیادی روی گیاهان داشته باشد (Banan et al., 2020). بنابراین، در گیاهان مطالعات بیشتری در سطح سلولی و مولکولی برای تعیین اثرات منفی و مثبت نانوذرات در شرایط تنش لازم است (Banan et al., 2020). طبق پژوهش‌های انجام شده، دانه‌رسانی‌ها پاسخ‌های فیزیولوژیکی متفاوتی به نانوذرات در حین جوانه‌زنی نشان می‌دهند و نیز واکنش ریشه‌چه و ساقه‌چه به نانوذرات متفاوت است و نیز نانوذرات اثرات منفی و مثبتی بر جوانه‌زنی و رشد دانه‌رسانی دارند (Nejatzadeh, 2021). نانوذرات نقره (AgNPs) یکی از پرکاربردترین نانوذرات است که به طور فرایندهای به دلیل خواص ضدمیکروبی آن استفاده می‌شود. چراکه نانوذرات نقره ممکن است با مهار انتخابی قارچ‌ها و باکتری‌های مضر روی بذرهای کاربردهای قابل توجهی در کشاورزی و باعثانی داشته باشند و می‌توانند به عنوان منبع جایگزینی برای کود باشند که ممکن است کشاورزی پایدار را بهبود بخشد (Parveen and Rao, 2015).

با نانو را می‌توان برای کاهش اثرات زیستمحیطی قارچ‌کش‌های شیمیایی و کاهش هزینه‌های تولید کشاورزی مورد استفاده قرار داد (Parveen and Rao, 2015). در کلم چینی (*Chinese cabbage*) نانوذرات نقره منجر به افزایش سرعت جوانه‌زنی و رشد ریشه‌چه و ساقه‌چه شدند (Zhou et al., 2022). لذا با توجه به اهمیت بالای کینوا در امنیت غذایی و نیز تأثیر نانوذرات نقره و اسیدهیومیک بر خصوصیات مورفولوژیک و فیزیولوژیک گیاه تحت شرایط تنش، به خصوص تنش خشکی و نیز وسعت روبه افزایش اراضی خشک این پژوهش با هدف بررسی اثر نانوذرات نقره و اسیدهیومیک بر جوانه‌زنی بذر و برخی خصوصیات مورفولوژیک و فیزیولوژیکی دانه‌رسانی کینوا تحت شرایط تنش خشکی انجام شده است که در صورت مؤثر بودن در مزرعه پیشنهاد شود.

باشد سرعت جوانهزنی بالاتر می‌باشد. این شاخص عکس میانگین جوانهزنی روزانه می‌باشد (Pagter *et al.*, 2009).

$$CVG = 1 / MTG \quad \text{رابطه ۵}$$

: ضریب سرعت جوانهزنی شاخص مشخصه سرعت و شتاب جوانهزنی بذرها می‌باشد این شاخص عکس میانگین زمان لازم برای جوانهزنی می‌باشد (Ranal and Santana, 2006).

$$SVI = \frac{\text{درصد جوانهزنی نهایی} \times (\text{میانگین طول ساقه‌چه} + \text{میانگین طول ریشه‌چه})}{\text{درصد جوانهزنی نهایی}} \quad \text{رابطه ۶}$$

شاخص طولی بنیه‌ی بذر می‌باشد که بیان کننده میزان جوانهزنی بذور و کیفیت گیاه‌چهای تولیدی به صورت همزمان است (Abdul-Baki and Anderson, 1973).

برای اندازه‌گیری پرولین، نیم گرم از بافت تازه گیاه‌چه داخل هاون قرار داده و پس از کوییدن ۱۰ میلی لیتر اسید سولفوسالیسیلیک ٪۳٪ اضافه گردید. سپس نمونه‌ها به مدت ۱۰ دقیقه در سانتریفیوژ ۶۰۰۰ دور در دقیقه و دمای ۴ درجه سانتی گراد قرار داده شدند. دو میلی لیتر از عصاره رویی نمونه‌ها جدا شد و به آن‌ها ۲ میلی لیتر اسید نین‌هیدرین و ۲ میلی لیتر اسید استیک گلاسیال اضافه گردید و به مدت یک ساعت در حمام آب گرم قرار داده شدند. پس از سرد شدن نمونه‌ها ۴ میلی لیتر تولوئن به آن‌ها اضافه گردید و به مدت ۲۰ ثانیه در دستگاه ورتکس بهم زده شدند (Bates, 1973). برای سنجش قندهای محلول ابتدا به ۰/۵ گرم از بافت تازه گیاه‌چه ۱۰ میلی لیتر اتانول اضافه گردید و در داخل هاون به طور کامل سائیده شد. سپس به ۰/۱ از عصاره الکی ۳ میلی لیتر آنtronon تازه تهیه شده اضافه شد و به مدت ۱۰ دقیقه در حمام آب جوش قرار داده شد. پس از سرد شدن نمونه‌ها در محیط آزمایشگاه میزان جذب نمونه‌ها در طول موج ۶۲۵ نانومتر با دستگاه اسپکتروفوتومتر قرائت گردید (Irigoyen *et al.*, 1992).

میانگین زمان لازم برای جوانهزنی، شاخص سرعت جوانهزنی، سرعت ضریب جوانه و شاخص طولی بنیه‌ی بذر و نیز صفات فیزیولوژیکی شامل پرولین، قندهای محلول، فل کل، فلاونوئید و فعالیت ایزام کاتالاز اندازه‌گیری شد و در پایان آزمایش صفات طول گیاه‌چه، ساقه‌چه و ریشه‌چه و نیز وزن تر و خشک گیاه‌چه، ساقه‌چه و ریشه‌چه بهوسیله ترازوی دیجیتالی (JMicroVision) با دقت ۰/۰۰۰۱ گرم اندازه‌گیری شدند. جهت اندازه‌گیری وزن خشک گیاه‌چه، ساقه‌چه و ریشه‌چه در آون ۷۰ درجه سانتی گراد به مدت ۴۸ ساعت قرار داده شدند. شاخص طولی بنیه‌ی بذر از مجموع طول ریشه‌چه و ساقه‌چه ضرب در درصد جوانهزنی محاسبه شد. با توجه به رابطه‌های ذیل سایر صفات اندازه‌گیری و محاسبه شدند.

$$GP = GN/NT \times 100 \quad \text{رابطه ۱}$$

GP درصد جوانهزنی، GN تعداد بذرها و جوانهزده و NT تعداد کل بذرها بود (Liopa-Tsakalidi *et al.*, 2012).

$$MTG = \sum (ni di)/ni \quad \text{رابطه ۲}$$

MTG: میانگین زمان لازم برای جوانهزنی، di تعداد روز پس از کاشت، ni تعداد بذور جوانهزده در روز di و $\sum ni$ کل تعداد بذر جوانهزده می‌باشد (Ranal and Santana, 2006).

$$MDG = \text{Germination percentage} / \text{The length of the test period} \quad \text{رابطه ۳}$$

MDG: میانگین جوانهزنی روزانه شاخص از سرعت جوانهزنی روزانه می‌باشد (Hunter *et al.*, 1984).

$$DGS = 1/MDG \quad \text{رابطه ۴}$$

DGS: سرعت جوانهزنی روزانه شاخص بیان کننده مدت زمان لازم برای جوانهزنی تک بذر است و هر چه کمتر

آزمایشگاه میکروسکوپ الکترونی دانشگاه صنعتی
شاہرود منتقل شدند. نمونه‌ها توسط میکروسکوپ
الکترونی روبشی اثر میدانی (FESEM) (Zeiss) کشور
آلمان مدل 300-HV (Sigma) مشاهده و عکسبرداری با
بزرگنمایی‌های مختلف صورت گرفت.

تجزیه‌ی آماری

داده‌های به دست آمده توسط نرم‌افزار آماری (۹/۱)
تجزیه شدن و مقایسه میانگین تیمارها بر اساس
آزمون دانکن در سطح پنج درصد محاسبه شد.

نتایج

طبق نتایج تجزیه واریانس، نانوذرات نقره اثر
معنی‌داری بر درصد جوانه‌زنی و شاخص‌های جوانه‌زنی
نداشتند (جدول ۱). اسیدهیومیک اثر معنی‌داری در سطح
احتمال پنج درصد بر درصد جوانه‌زنی، سرعت جوانه‌زنی،
ضریب سرعت جوانه‌زنی، میانگین جوانه‌زنی روزانه و
میانگین زمان لازم جوانه‌زنی به جزء شاخص طولی بنیه‌ی
بذر داشت. تنش خشکی اثر معنی‌داری بر درصد
جوانه‌زنی بذر، میانگین زمان جوانه‌زنی (سطح احتمال یک
درصد)، سرعت جوانه‌زنی، ضریب سرعت جوانه‌زنی و
میانگین جوانه‌زنی روزانه (سطح احتمال پنج درصد) نشان
داد. اثر متقابل بین نانوذرات نقره × اسیدهیومیک و نیز
اسیدهیومیک × تنش خشکی اثر معنی‌داری (در سطح
احتمال یک درصد) بر درصد جوانه‌زنی، سرعت
جوانه‌زنی، میانگین زمان لازم جوانه‌زنی و شاخص طولی
بنیه‌ی بذر داشتند (جدول ۱). نانوذرات نقره × تنش
خشکی اثر معنی‌داری در سطح احتمال پنج درصد بر
درصد جوانه‌زنی و شاخص‌های جوانه‌زنی به جزء شاخص
طولی بنیه‌ی بذر نشان دادند. اثر متقابل بین نانوذرات نقره
× اسیدهیومیک × تنش خشکی بر درصد جوانه‌زنی و
شاخص‌های جوانه‌زنی معنی‌دار نبود (جدول ۱).

برای اندازه‌گیری فتل کل به ۱۰۰ میکرولیتر عصاره
تهیه شده ۲ میلی‌لیتر کربنات سدیم (۲ درصد)، ۲/۸
میلی‌لیتر آب مقطر و ۱۰۰ میکرولیتر معرف فولین-
سیوکالچو (۵۰ درصد) اضافه شد. جذب نمونه‌ها در طول
موج ۷۲۰ نانومتر قرائت شد (Meda *et al.*, 2005). میزان
فتل کل بر اساس میلی‌گرم اسید گالیک بر گرم وزن
خشک گیاهچه گزارش گردید. برای اندازه‌گیری
فلاؤنئید گیاهچه ابتدا ۱/۰ گرم نمونه گیاهچه با ۳
میلی‌لیتر محلول متانول اسیدی در هاون ساییده و به مدت
۱۵ دقیقه در ۶۰۰۰ دور در دقیقه سانتریفیوژ شد. محلول
رویی نمونه‌ها جدا و به مدت ۱۰ دقیقه در حمام آب گرم با
دمای ۸۰ درجه سلسیوس قرار داده شدند و پس از سرد
شدن نمونه‌ها میزان جذب آن‌ها توسط اسپکتروفتومتر در
۳ طول موج ۲۷۰، ۳۰۰ و ۳۳۰ نانومتر قرائت گردید
(Krizek *et al.*, 1993).

برای اندازه‌گیری فعالیت آنزیم کاتالاز ۰/۱ گرم
نمونه گیاهچه در ۳ میلی‌لیتر بافر استخراج (فسفات پتاسیم
۱۰۰ میلی‌مولار با پیچ ۰/۱ ۷/۸ مولار EDTA و ۰/۱
مولار PVP) روی یخ همگن شدند. نمونه‌های به دست
آمده به مدت ۳۰ دقیقه و دمای ۴ درجه سانتی‌گراد در دور
۱۴۰۰۰ در دقیقه سانتریفیوژ گردیدند. مایع رویی نمونه‌ها
برای سنجش فعالیت آنزیم کاتالاز استفاده شد. فعالیت
آنزیم کاتالاز (میلی‌مول بر گرم بر دقیقه) با روش
اسپکتروفتومتری و بر اساس کاهش جذب پراکسید
هیدروژن در طول موج ۲۴۰ نانومتر در مدت ۳۰ ثانیه
اندازه‌گیری شد. مخلوط واکنش شامل بافر فسفات
۵۰ میلی‌مولار با پیچ ۷ حاوی آب اکسیژن ۳۰ میلی‌مولار و
۱۰۰ میکرولیتر عصاره آنزیمی بود. واکنش با افزودن
 H_2O_2 شروع و کاهش جذب در مدت ۶۰ ثانیه قرائت شد.
ضریب خاموشی برای کاتالاز ۰/۰۳۹۴ میلی‌مول بر
سانتی‌متر بود (Aebi *et al.*, 1984).

مطالعات میکروسکوپی

در پایان آزمایش نمونه‌های خشک شده ریشه‌چه به

جدول ۱- نتایج تجزیه واریانس اثر سطوح مختلف نانوذرات نقره، اسیدهیومیک، تنش خشکی و اثر متقابل بین سه فاکتور بر درصد جوانهزنی و شاخصه‌های جوانهزنی بذر کینوا

Table 1- Results of analysis of variance of the effect of different levels of AgNPs, humic acid, drought stress and the interaction between three factors on germination percentage and germination characteristics of quinoa seeds

			میانگین مربعات Means of Square					
منج پراکنش S.O.V	درجه آزادی df	درصد جوانهزنی Germination percentage	سرعت جوانهزنی Germination rate	ضریب سرعت جوانهزنی Germination rate coefficient	میانگین زمان لام جوانهزنی Mean germination time required	میانگین جوانهزنی روزانه Mean daily germination	میانگین طولی بنیه‌بذر Seed vigor length index	
نانوذرات نقره AgNPs	2	187.45 ^{ns}	0.00067 ^{ns}	0.0161 ^{ns}	3.82 ^{ns}	0.14 ^{ns}	20922363.56*	
اسیدهیومیک Humic acid	2	273.97*	0.00089*	0.0216*	5.59*	0.21*	148.92 ^{ns}	
تش خشکی Drought stress	2	365.23**	0.0011*	0.0238*	7.45**	0.28*	1896192.05 ^{ns}	
نانوذرات نقره×اسیدهیومیک AgNPs × Humic acid	4	72.19**	0.00016**	0.0044 ^{ns}	1.47**	0.05 ^{ns}	1710341.17**	
نانوذرات نقره×تش خشکی AgNPs × Drought stress	4	95.01**	0.00029 **	0.0075**	1.94**	0.07**	1876781.64 ^{ns}	
اسیدهیومیک×تش خشکی Humic acid×Drought stress	4	96.19**	0.00032**	0.0068 ^{ns}	1.96**	0.07 ^{ns}	1983331.23**	
نانوذرات نقره×اسیدهیومیک×تش خشکی AgNPs × Humic Acid × Drought Stress	8	31.30 ^{ns}	0.00004 ^{ns}	0.0014 ^{ns}	0.64 ^{ns}	0.02 ^{ns}	1221132.54 ^{ns}	
اشتباه آزمایشی Error	54	72.69	0.00025	0.0057	1.48	0.05	1434106.1	
ضریب تغییرات C.V	-	12.89	14.56	13.82	12.89	12.86	17.83	

* و **: به ترتیب غیرمعنی دار و معنی دار در سطح احتمال یک درصد و پنج درصد

ns, * and **: non- significant, significant at the 5% and 1% level of probability, respectively

خشکی و نانوذرات نقره × اسیدهیومیک × تنش خشکی بر صفات مورد بررسی معنی دار نبود (جدول ۲). طبق نتایج مقایسه میانگین ها، اثر متقابل بین نانوذرات نقره × اسیدهیومیک تأثیر مثبتی بر درصد جوانهزنی، سرعت جوانهزنی، میانگین زمان جوانهزنی و شاخص طولی بنیه بذر کینوا داشتند و کمترین میزان درصد جوانهزنی (۵۹/۵٪)، سرعت جوانهزنی (۸/۵٪) و شاخص طولی بنیه بذر (۱۹۱۷/۴) در تیمار شاهد مشاهده گردید.

با توجه به نتایج تجزیه واریانس نانوذرات نقره اثر معنی داری در سطح احتمال یک درصد بر صفات مرفولوژیک مورد بررسی داشت (جدول ۲). اسیدهیومیک و تنش خشکی اثر معنی داری بر صفات مورد بررسی نشان ندادند (جدول ۲). اثر متقابل بین نانوذرات نقره × اسیدهیومیک و نیز نانوذرات نقره × تنش خشکی در سطح احتمال یک درصد اثر معنی داری بر صفات مرفولوژیک مورد بررسی داشتند. اثر متقابل بین اسیدهیومیک × تنش

ميانگين زمان لازم جوانهزنی افزایش نشان داد. بيشترین ميزان درصد جوانهزنی و شاخص‌های جوانهزنی در تیمار بدون تنش همراه با غلظت ۲۰ میلی‌گرم بر لیتر نانوذرات نقره مشاهده شد (جدول ۵). در هر سه سطح نانوذرات نقره تفاوت نامحسوسی بين سطوح بالای تنش خشکی از نظر صفات مورد بررسی مشاهده گردید.

با توجه به نتایج مقایسه ميانگين‌ها نانوذرات نقره اثر مثبت بر صفات مورفولوژیکی دانه‌رست کینوا داشت و با افزایش سطح تنش خشکی این صفات کاهش نشان دادند (جدول ۶). تفاوت معنی‌داری بين ميزان وزن تر دانه‌رست در تیمار شاهد با بيشترین سطوح نانوذرات نقره و تنش خشکی مشاهده شد. در حالی که تفاوت معنی‌داری بين سایر سطوح از نظر صفات مورد بررسی مشاهده نشد.

گرچه در هر سه سطح نانوذرات نقره تفاوت معنی‌داری بين سطوح مختلف اسيدهيوميك از نظر صفات مورد بررسی مشاهده نشد (جدول ۳).

براساس نتایج مقایسه ميانگين‌ها، سطوح مختلف نانوذرات نقره و اسيدهيوميك ميزان خصوصيات مورفولوژيک را نسبت به تیمار شاهد افزایش دادند. طبق نتایج به دست آمده در هر سه سطح نانوذرات نقره با افزایش ميزان اسيدهيوميك تفاوت معنی‌داری در صفات مورد آنالیز مشاهده نشد (جدول ۴).

براساس نتایج مقایسه ميانگين‌ها نانوذرات نقره برخلاف تنش خشکی تأثير مثبتی بر درصد جوانهزنی و شاخص‌های جوانهزنی کینوا داشت. در هر سه سطح نانوذرات نقره با افزایش تنش خشکی درصد جوانهزنی، سرعت جوانهزنی و شاخص طولی بنيه‌ی بذر کاهش و

جدول ۲- نتایج تجزیه واریانس اثر سطوح مختلف نانوذرات نقره، اسيدهيوميك، تنش خشکی و اثر متقابل بين سه فاكتور بر برحی و پیزگی‌های مورفولوژیکی دانه‌رست کینوا

Table 2-Results of analysis of variance of the effect of different levels of AgNPs, humic acid, drought stress and the interaction between three factors on some morphological characteristics of quinoa seedlings

منبع پراکنش S.O.V	درجه آزادی df	ميانگين مربعات Means of Square									
		وزن نرم گاهچه Seedling fresh weight	وزن ترشیه Shoot fresh weight	وزن ریشه Root fresh weight	وزن خشک گاهچه Seedling dry weight	وزن خشک ترشیه Shoot dry weight	وزن خشک ریشه Root dry weight	طول گاهچه Seedling length	طول ساقه Shoot length	طول ریشه Root length	
نانوذرات نقره	2	335.66**	148.13**	55.26**	0.62**	0.13**	0.103**	5630.49**	617.94**	2780.91**	
AgNPs	2	10.59ns	23.99ns	2.91ns	0.019ns	0.021ns	0.005ns	177.92ns	99.97ns	146.74ns	
اسيدهيوميك	2	6.32ns	30.88ns	1.63ns	0.012ns	0.027ns	0.003ns	105.93ns	128.79ns	82.44ns	
Humic acid	2	27.51**	119.23*	1.02**	0.050**	0.055**	0.001**	461.31**	248.60**	51.24**	
تش خشکی	2	27.43**	73.42**	1.86**	0.051**	0.033**	0.003**	459.50**	153.25**	93.93**	
Drought stress	4	29.33ns	79.31ns	1.99ns	0.054ns	0.035ns	0.003ns	492.44ns	165.48ns	100.82ns	
نانوذرات نقره×اسيدهيوميك	4	20.00ns	88.55ns	3.69ns	0.037ns	0.020ns	0.006ns	335.45ns	92.39 ns	185.64ns	
AgNPs×Humic acid×Drought stress	8	16.46	11.09	2.42	0.030	0.020	0.004	276.12	92.63	121.76	
اشتباه آزمایش	-	14.55	15.86	10.71	14.61	15.84	10.50	14.55	15.86	10.70	
ضریب تغییرات C.V											

* و **: به ترتیب غیرمعنی‌دار و معنی‌دار در سطح احتمال یک درصد و پنج درصد

ns, * and **: non- significant, significant at the 5% and 1% level of probability, respectively

جدول ۳- مقایسه میانگین اثر سطوح مختلف نانوذرات نقره و اسیدهیومیک بر برخی ویژگی‌های جوانه‌زنی بذر کینوا

Table 3- Comparison of the mean effect of different levels of AgNPs and humic acid on some germination characteristics of quinoa seeds

ننانوذرات نقره (میلی گرم بر لیتر) AgNPs (mg L ⁻¹)	اسیدهیومیک (میلی گرم بر لیتر) Humic acid (mg L ⁻¹)	درصد جوانه‌زنی Germination percentage (%)	میانگین زمان جوانه‌زنی (روز)	سرعت جوانه‌زنی (بذر در روز) Germination rate (seed day ⁻¹)	شاخص طولی بنیه‌بذر (-)
0	0	59.5 ^c	10.09 ^a	0.101 ^c	1917.4 ^c
	100	60.4 ^{b,c}	10.03 ^a	0.103 ^{b,c}	1986.4 ^c
	300	64.4 ^{b,c}	9.96 ^{a,b}	0.103 ^{b,c}	2631.9 ^{b,c}
10	0	64.8bc	9.65abc	0.107 ^{b,c}	3037.7 ^{b,c}
	100	67.5bc	9.65abc	0.108 ^{b,c}	3410.1 ^b
	300	67.5bc	9.27abc	0.110 ^{b,c}	3688.5 ^b
20	0	69.7b	9.20abc	0.114 ^{b,c}	3831.7 ^b
	100	70.6a	8.63bc	0.118 ^b	3891.2 ^b
	300	70.2a	8.50c	0.122 ^a	4091.1 ^a

در هر ترکیب تیماری حروف مشابه عدم اختلاف معنی دار و حروف غیر مشابه اختلاف معنی دار را در سطح احتمال ۵٪ نشان می‌دهد (آزمون چند دامنه‌ای دانکن)

In each column means that common letters are significantly different at the 5% level are Duncan's multiple range tests

جدول ۴- مقایسه میانگین اثر سطوح مختلف نانوذرات نقره و اسیدهیومیک بر برخی ویژگی‌های مرغولوژیکی دانه‌رس است کینوا

Table 4 - Comparison of the mean effect of different levels of AgNPs and humic acid on some morphological characteristics of quinoa seedlings

ننانوذرات نقره (میلی گرم بر لیتر) AgNPs (mg L ⁻¹)	اسیدهیومیک (میلی گرم بر لیتر) Humic acid (mg L ⁻¹)	وزن تازه گاهیه (میلی گرم) Seedling fresh weight (mg)	وزن تازه ساقچه (میلی گرم) Shoot fresh weight (mg)	وزن تازه ریشه (میلی گرم) Root fresh (mg)	وزن خشک گاهیه (میلی گرم) Seedling dry (mg)	وزن خشک ساقچه (میلی گرم) Shoot dry weight (mg)	وزن خشک ریشه (میلی گرم) Root dry weight (mg)	طول گاهیه (میلی تر) Seedling length (mm)	طول ساقچه (میلی تر) Shoot length (mm)	طول ریشه (میلی تر) Root length (mm)
0	0	6.84 ^c	4.56 ^c	2.09 ^d	0.29 ^d	0.19 ^c	0.090 ^d	13.20 ^c	14.83 ^d	28.04 ^c
	100	7.54 ^c	4.70 ^c	2.44 ^d	0.32 ^d	0.20 ^c	0.104 ^d	13.57 ^c	17.32 ^d	30.90 ^c
	300	9.4 ^{b,c}	6.46 ^{b,c}	2.67 ^d	0.40 ^{cd}	0.27 ^{b,c}	0.113 ^d	18.67 ^{b,c}	18.98 ^d	38.58 ^{b,c}
10	0	10.45 ^{b,c}	6.76 ^{b,c}	3.40 ^{cd}	0.45 ^{bcd}	0.29 ^{bc}	0.145 ^{cd}	19.55 ^{b,c}	24.14 ^{cd}	42.81 ^{b,c}
	100	12.88 ^{ab}	6.78 ^{b,c}	3.62 ^{bcd}	0.55 ^{abc}	0.29 ^{bc}	0.155 ^{bcd}	19.59 ^{b,c}	25.72 ^{bcd}	52.76 ^{ab}
	300	13.32 ^{ab}	7.56 ^{b,c}	4.35 ^{abc}	0.57 ^{abc}	0.32 ^{abc}	0.187 ^{abc}	21.84 ^{ab}	30.91 ^{abc}	54.55 ^{ab}
20	0	13.82 ^{ab}	8.68 ^{ab}	4.93 ^{abc}	0.59 ^{ab}	0.37 ^{ab}	0.211 ^{abc}	25.09 ^a	34.99 ^{abc}	56.63 ^{ab}
	100	14.90 ^a	9.13 ^{ab}	5.06 ^{ab}	0.64 ^a	0.39 ^{ab}	0.218 ^{ab}	26.38 ^a	35.93 ^{ab}	61.03 ^a
	300	16.48 ^a	10.70 ^a	5.79 ^a	0.70 ^a	0.45 ^a	0.248 ^a	30.90 ^a	41.09 ^a	67.48 ^a

در هر ترکیب تیماری حروف مشابه عدم اختلاف معنی دار و حروف غیر مشابه اختلاف معنی دار را در سطح احتمال ۵٪ نشان می‌دهد (آزمون چند دامنه‌ای دانکن)

In each column means that common letters are significantly different at the 5% level are Duncan's multiple range tests

جدول ۵- مقایسه میانگین اثر سطوح مختلف نانوذرات نقره و تنش خشکی بر برخی ویژگی‌های جوانهزنی بذر کینوا

Table 5- Comparison of the mean effect of different levels of AgNPs and drought stress on some germination characteristics of quinoa seeds

ننانوذرات نقره (میلی‌گرم بر لیتر) AgNPs (mg L ⁻¹)	تنش خشکی (بار) Drought stress (bar)	درصد جوانهزنی (%) Germination percentage (%)	میانگین زمان جوانهزنی (بروز) Mean germination time (Day)	سرعت جوانهزنی (بذر در روز) Germination rate (seed day ⁻¹)	شاخص طولی بینی بذر (-) Seed vigor length index (-)
0	0	68.00 ^{ab}	9.14 ^{bcd}	0.113 ^{abc}	3930.6 ^{ab}
	-6	66.22 ^{abc}	9.71 ^b	0.106 ^{bc}	2824.1 ^{bcd}
	-12	57.77 ^c	10.34 ^a	0.098 ^c	1864.2 ^d
10	0	70.66 ^a	8.76 ^{bcd}	0.118 ^{ab}	4055.2 ^{ab}
	-6	66.66 ^{abc}	9.52 ^{abc}	0.108 ^{bc}	3393.8 ^{abc}
	-12	61.33 ^{bc}	10.09 ^a	0.103 ^{bc}	2090.9 ^d
20	0	72.44 ^a	8.25 ^e	0.125 ^a	4162.3 ^a
	-6	68.00 ^{ab}	9.46 ^{abc}	0.108 ^{bc}	3584.4 ^{abc}
	-12	64.00 ^{bc}	9.71 ^{ab}	0.105 ^{bc}	2580.7 ^{cd}

در هر ترکیب تیماری حروف مشابه عدم اختلاف معنی‌دار و حروف غیرمشابه اختلاف معنی‌دار را در سطح احتمال ۵٪ نشان می‌دهد (آزمون چند دامنه‌ای دانکن)

In each column means that common letters are significantly different at the 5% level are Duncan's multiple range tests

جدول ۶- مقایسه میانگین اثر سطوح مختلف نانوذرات نقره و تنش خشکی بر برخی ویژگی‌های مرغولوژیکی بذر کینوا

Table 6- Comparison of the mean effect of different levels of AgNPs and drought stress on some morphological characteristics of quinoa seeds

ننانوذرات نقره میلی‌ گرم بر لیتر) AgNPs (mg L ⁻¹)	تنش خشکی (بار) Drought stress (bar)	وزن تر گیاهچه Seedling fresh weight (mg)	وزن تر ساقه چه Shoot fresh weight (mg)	وزن تر ریشه چه Root fresh (mg)	وزن خشک گیاهچه Seedling dry (mg)	وزن خشک ساقه چه Shoot dry weight (mg)	وزن خشک ریشه چه Root dry weight (mg)	وزن خشک Seedling length (mm)	طول گیاهچه (میلی‌تر) (mili-T)	طول ساقه چه (میلی‌تر) (mili-T)	طول ریشه چه (میلی‌تر) (mili-T)	طول Shoot length (mm)	Root length (mm)
0	0	14.85 ^b	8.84 ^a	5.03 ^a	0.64 ^a	0.37 ^a	0.216 ^a	25.54 ^a	35.68 ^a	60.81 ^a			
	-6	10.43 ^{bcd}	6.52 ^{ab}	3.31 ^{bc}	0.44 ^{bcd}	0.27 ^{ab}	0.141 ^{bc}	18.84 ^{ab}	23.51 ^{bcd}	42.71 ^{bcd}			
	-12	7.37 ^d	4.67 ^b	2.31 ^c	0.31 ^d	0.20 ^b	0.097 ^c	13.51 ^b	16.44 ^c	30.18 ^d			
10	0	15.14 ^a	9.11 ^a	5.30 ^a	0.65 ^a	0.39 ^a	0.227 ^a	26.33 ^a	37.65 ^a	62.01 ^a			
	-6	11.89 ^{abc}	6.63 ^{ab}	3.436 ^{bc}	0.51 ^{abc}	0.28 ^{ab}	0.147 ^{bc}	19.16 ^{ab}	24.36 ^{bc}	48.69 ^{abc}			
	-12	7.43 ^d	4.85 ^b	2.35 ^c	0.32 ^d	0.20 ^b	0.100 ^c	14.01 ^b	16.67 ^c	30.46 ^d			
20	0	14.94 ^a	9.66 ^a	5.45 ^a	0.67 ^a	0.41 ^a	0.234 ^a	27.90 ^a	38.69 ^a	64.23 ^a			
	-6	13.87 ^{ab}	8.71 ^a	4.63 ^{ab}	0.59 ^{ab}	0.37 ^a	0.200 ^{ab}	25.17 ^a	32.90 ^{ab}	56.81 ^{ab}			
	-12	9.00 ^{cd}	6.35 ^{ab}	2.54 ^c	0.38 ^{cd}	0.27 ^{ab}	0.110 ^c	18.34 ^{ab}	18.02 ^c	36.87 ^{cd}			

در هر ترکیب تیماری حروف مشابه عدم اختلاف معنی‌دار و حروف غیرمشابه اختلاف معنی‌دار را در سطح احتمال ۵٪ نشان می‌دهد (آزمون چند دامنه‌ای دانکن)

In each column means that common letters are significantly different at the 5% level are Duncan's multiple range tests

فوق کاهش یافت. با آن که اسیدهیومیک تأثیر مثبت بر میزان جوانهزنی داشت اما تفاوت معنی داری بین سطوح اسیدهیومیک مشاهده نشد (جدول ۷).

طبق نتایج به دست آمده، با افزایش سطح اسیدهیومیک درصد جوانهزنی، میانگین جوانهزنی و سرعت جوانهزنی بهبود نشان داد. در هر سه سطح اسیدهیومیک با افزایش سطح تنش خشکی میزان صفات

جدول ۷- مقایسه میانگین اثر سطوح مختلف اسیدهیومیک و تنش خشکی بر برخی ویژگی های جوانهزنی بذر کینوا

Table 7- Comparison of the mean effect of different levels of humic acid and drought stress on some germination characteristics of quinoa seeds

اسیدهیومیک (میلی گرم بر لیتر) Humic acid (mg L ⁻¹)	درصد جوانهزنی (روز) Mean germination time (Day)	میانگین زمان جوانهزنی (%) Germination percentage (%)	تنش خشکی (بار) Drought stress (bar)	سرعت جوانهزنی (بذر در روز) Germination rate (seed day ⁻¹)
0	9.07 ^b c	67.11 ^b c	0	0.114 ^a
	9.39 ^b c	64.00 ^b c	-6	0.108 ^{abc}
	10.73 ^a	60.88 ^c	-12	0.095 ^c
100	8.76 ^c	72.44 ^{ab}	0	0.117 ^a
	9.27 ^b c	64.88 ^b c	-6	0.112 ^{ab}
	10.34 ^{ab}	61.33 ^c	-12	.097 ^{bc}
300	8.69 ^c	75.11 ^a	0	0.121 ^a
	9.14 ^b c	65.77 ^b c	-6	0.114 ^a
	9.58 ^{abc}	63.55 ^b c	-12	0.107 ^{abc}

در هر ترکیب تیماری حروف مشابه عدم اختلاف معنی دار و حروف غیر مشابه اختلاف معنی دار را در سطح احتمال ۵٪ نشان می دهد (آزمون چند دامنه ای دانکن)

In each column means that common letters are significantly different at the 5% level are Duncan's multiple range tests

۸). طبق نتایج اثر متقابل بین نانوذرات نقره و تنش خشکی و اسیدهیومیک و تنش خشکی در سطح یک درصد اثر معنی داری بر میزان پرولین، قند محلول، فل کل، فلونوئید و فعالیت آنزیم کاتالاز داشتند. اثر متقابل بین سه فاکتور اثر معنی داری بر صفات مورد بررسی نشان ندادند (جدول ۸).

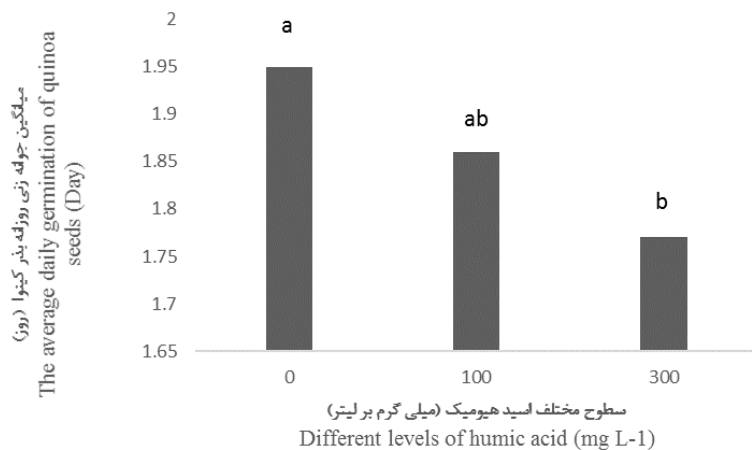
طبق نتایج مقایسه میانگین ها (جدول ۹)، در هر سه سطح نانوذرات نقره با افزایش غلظت اسیدهیومیک میزان پرولین، قند محلول، فل کل، فلونوئید و فعالیت آنزیم کاتالاز افزایش نشان داد. بیشترین میزان پرولین، قند کل و فل کل در تیمار ۲۰ میلی گرم بر لیتر نانوذره نقره همراه با ۳۰۰ میلی گرم بر لیتر اسیدهیومیک بود که تفاوت معنی داری با تیمار ۲۰ میلی گرم بر لیتر نانوذره نقره همراه با

براساس نتایج مقایسه میانگین ها، اسیدهیومیک تأثیر مثبتی بر میانگین جوانهزنی روزانه داشت. بیشترین و کمترین میزان میانگین جوانهزنی روزانه به ترتیب در سطوح صفر و ۳۰۰ میلی گرم بر لیتر اسیدهیومیک مشاهده شد (شکل ۱). در حالی که با افزایش غلظت تنش خشکی میانگین جوانهزنی روزانه بذر کینوا افزایش نشان داد (شکل ۲).

طبق نتایج تجزیه واریانس (جدول ۸)، نانوذرات نقره، اسیدهیومیک و تنش خشکی اثر معنی داری در سطح احتمال یک درصد بر میزان پرولین، قند محلول، فل کل، فلونوئید و فعالیت آنزیم کاتالاز داشت. اثر متقابل بین نانوذرات نقره و اسیدهیومیک اثر معنی داری (در سطح احتمال پنج درصد) بر صفات ذکر شده داشتند (جدول

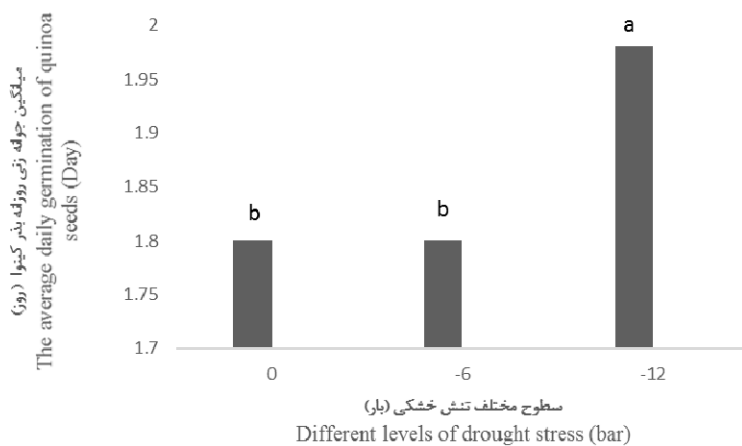
فلاونوئید و فعالیت آنزیم کاتالاز افزایش نشان داد. بیشترین و کمترین میزان فلاونوئید و فعالیت آنزیم کاتالاز به ترتیب در تیمارهای ۲۰ میلی گرم بر لیتر نانوذره نقره همراه با ۱۰۰ میلی گرم بر لیتر اسیدهیومیک و شاهد مشاهده شد (جدول ۹).

۱۰۰ میلی گرم بر لیتر اسیدهیومیک نداشت. کمترین میزان پرولین در تیمار شاهد مشاهده گردید (جدول ۹). نانوذرات نقره و اسیدهیومیک اثر مثبتی بر میزان فلاونوئید و فعالیت آنزیم کاتالاز داشتند و در هر سه غلظت نانوذرات نقره با افزایش غلظت اسیدهیومیک میزان



شکل ۱- اثر سطوح مختلف اسیدهیومیک بر میانگین جوانهزنی روزانه‌ی بذر کینوا

Figure 1- Effect of different levels of humic acid on the average daily germination of quinoa seeds



شکل ۲- اثر سطوح مختلف تنش خشکی بر میانگین جوانهزنی روزانه‌ی بذر کینوا

Figure 2- Effect of different levels of drought stress on the average daily germination of quinoa seeds

جدول ۸- نتایج تجزیه واریانس اثر سطوح مختلف نانوذرات نقره، اسیدهیومیک، تنفس خشکی و اثر متقابل بین سه فاکتور بر بrix و پیزگی های فیزیولوژیکی دانه رست کینوا

Table 8- Results of analysis of variance the effect of different levels of AgNPs, humic acid, drought stress and the interaction between three factors on some physiological characteristics of quinoa seedlings

منع پراکنش S.O.V	درجه آزادی df	میانگین مربوط					فعالیت آنزیم کاتالاز Catalase enzyme activity
		پرولین Proline	قند کل Total sugar	فل کل Total phenol	فلافونوئید Flavonoids		
نانوذرات نقره AgNPs	2	0.757*	20.846 ^{ns}	13.288*	695.41**	190.93*°	
اسیدهیومیک	2	0.089**	3.040**	1.293**	47.245**	15.037**	
Humic acid							
تنفس خشکی	2	0.015**	0.301**	0.166**	15.091**	3.550**	
Drought stress							
نانوذرات نقره×اسیدهیومیک AgNPs × Humic acid	4	0.035*	0.067*	0.276*	1.795*	0.526*	
نانوذرات نقره×تنفس خشکی NanoAg × Drought stress	4	0.003**	0.218**	0.005**	0.417**	0.067**	
اسیدهیومیک×تنفس خشکی humic acid×Drought stress	4	0.0003**	0.081**	0.001**	0.127**	0.046**	
نانوذرات نقره×اسیدهیومیک×تنفس خشکی AgNPs × Humic acid×Drought stress	8	0.0004 ^{ns}	0.043 ^{ns}	0.012 ^{ns}	0.141 ^{ns}	0.031 ^{ns}	
اشتاب آرامایشی	54	0.138	8.281	3.827	236.991	60.983	
Error							
ضریب تغییرات C.V	-	9.78	6.890	3.219	5.358	6.36	

* و **: به ترتیب غیرمعنی دار و معنی دار در سطح احتمال یک درصد و پنج درصد

ns, * and **: non- significant, significant at the 5% and 1% level of probability, respectively

جدول ۹- مقایسه میانگین اثر سطوح مختلف نانوذرات نقره و اسیدهیومیک بر بrix و پیزگی های فیزیولوژیکی دانه رست کینوا

Table 9 - Comparison of the mean effect of different levels of AgNPs and humic acid on some physiological properties of quinoa seedlings

	(میلی گرم بر لیتر) AgNPs (mg L ⁻¹)	(میلی گرم بر لیتر) اسیدهیومیک (mg L ⁻¹)	(میلی گرم بر میلی گرم وزن نیزه) پرولین Proline (nm M/g Fw)	(میلی گرم بر میلی گرم وزن نیزه) قند کل Total sugar (mg/g Fw)	(میلی گرم بر میلی گرم وزن خشک) فل کل Total phenol (mg/g Dw)	(میلی گرم بر میلی گرم وزن خشک) فلافونوئید Flavonoids (mg/g Dw)	(میلی گرم بر گرم دانه) فعالیت آنزیم کاتالاز Catalase enzyme activity (mM/g min)
0	0	0.578 ^h	3.437 ^e	4.051 ^c	22.889 ⁱ	9.411i	
	100	0.608 ^g	3.740 ^f	4.204 ^d	24.356 ^h	10.30 ^g	
	300	0.638 ^f	4.236 ^d	4.588 ^d	25.894 ^g	11.11 ^h	
10	0	0.683 ^d	4.277 ^d	4.985 ^{cd}	28.533 ^f	12.48 ^g	
	100	0.698 ^{cd}	4.514 ^{cd}	5.00 ^c	29.178 ^e	12.90 ^f	
	300	0.711 ^c	4.972 ^c	5.00 ^c	30.187 ^d	13.43 ^d	
20	0	0.807 ^b	5.293 ^b	5.297 ^b	32.833 ^c	14.66 ^c	
	100	0.925 ^{ab}	5.579 ^{ab}	5.755 ^{ab}	34.640 ^b	15.61 ^b	
	300	1.06 ^a	5.801 ^a	6.00 ^a	36.111 ^a	16.50 ^a	

در هر ترکیب تیماری حروف مشابه عدم اختلاف معنی دار و حروف غیر مشابه اختلاف معنی دار را در سطح احتمال ۵٪ نشان می دهد (آزمون چند دامنه ای دانکن)

In each column means that common letters are significantly different at the 5% level are Duncan's multiple range tests

بیشترین و کمترین میزان فلاونوئید به ترتیب در تیمارهای ۲۰ میلی گرم بر لیتر نانوذره نقره همراه با تنش ۱۲-بار و شاهد مشاهده شد. بیشترین میزان فعالیت آنزیم کاتالاز در تیمار ۲۰ میلی گرم بر لیتر نانوذره نقره همراه با تنش ۱۲-بار بود که تفاوت معنی داری بین سطوح مختلف تنش خشکی در تیمار ۲۰ میلی گرم بر لیتر نانوذرات نقره همراه با تنش مشاهده نشد. کمترین میزان فعالیت آنزیم کاتالاز در تیمار شاهد بود (جدول ۱۰).

براساس نتایج مقایسه میانگین‌ها (جدول ۱۰)، نانوذرات نقره تأثیر مثبتی بر میزان پرولین، قند کل، فنل کل، فلاونوئید و فعالیت آنزیم کاتالاز تحت شرایط تنش خشکی داشتند. بیشترین میزان پرولین، قند کل، فنل کل و فلاونوئید در تیمار ۲۰ میلی گرم بر لیتر نانوذره نقره همراه با تنش ۱۲-بار بود که تفاوت معنی داری با تیمار ۲۰ میلی گرم بر لیتر نانوذره نقره همراه با نش ۶-بار نداشت. با توجه به نتایج به دست آمده تفاوت محسوسی بین سطوح تنش خشکی در سه سطح نانوذرات نقره مشاهده شد.

جدول ۱۰ - مقایسه میانگین اثر سطوح مختلف نانوذرات نقره و تنش خشکی بر برخی ویژگی‌های فیزیولوژیکی دانه‌رست کینوا
Table 10 - Comparison of the mean effect of different levels of AgNPs and drought stress on some physiological characteristics of quinoa seedlings

نانوذرات نقره (میلی گرم بر لیتر)	AgNPs (mg L ⁻¹)	تشخیص (بار)	برولین (نامول بر میلی گرم وزن تر)	پرولین (نامول بر میلی گرم وزن تر)	قند کل (میلی گرم بر گرم وزن خشک)	فنل کل (میلی گرم بر گرم وزن خشک)	فلاؤنید (میلی گرم بر گرم وزن خشک)	فعالیت آنزیم کاتالاز (میلی مول بر گرم وزن خشک دقیقه)	Catalase enzyme activity (mM/g min)
0	0		0.598 ⁱ	23.11 ⁱ	4.206 ^{cd}	3.667 ^f	9.01 ^d		
	-6		0.606 ^{de}	24.26 ^k	4.271 ^{cd}	3.840 ^e	10.31 ^c		
	-12		0.621 ^d	25.06 ^g	4.366 ^c	3.904 ^e	10.60 ^c		
10	0		28.30 ^f	4.920 ^{bc}	4.374 ^d	0.681 ^{cd}	12.44 ^{bc}		
	-6		29.25 ^e	5.032 ^b	4.526 ^{cd}	0.702 ^c	13.04 ^b		
	-12		30.34 ^d	5.044 ^b	4.863 ^c	0.710 ^b ^c	13.33 ^b		
20	0		33.95 ^c	5.588 ^{ab}	5.484 ^b	0.885 ^b	15.28 ^{ab}		
	-6		34.40 ^b	5.692 ^{ab}	5.579 ^{ab}	0.936 ^{ab}	15.62 ^a		
	-12		35.22 ^a	5.772 ^a	5.610 ^a	0.976 ^a	15.86 ^a		

در هر تیمار حروف مشابه عدم اختلاف معنی دار و حروف غیر مشابه اختلاف معنی دار را در سطح احتمال ۵٪ نشان می دهد (آزمون چند دامنه‌ای دانکن)
In each column means that common letters are significantly different at the 5% level are Duncan's multiple range tests

همراه با تنش ۶-بار نداشت. کمترین میزان فعالیت آنزیم کاتالاز در تیمار شاهد بود (جدول ۱۱). بیشترین میزان قند کل در تیمار ۳۰۰ میلی گرم بر لیتر اسیدهیومیک همراه با تنش ۱۲-بار مشاهده شد که تفاوت معنی داری بین سطوح مختلف تنش خشکی در تیمار صفر میلی گرم بر

طبق نتایج به دست آمده (جدول ۱۱)، اسیدهیومیک تأثیر مثبتی در میزان پرولین تحت شرایط تنش خشکی داشت و بیشترین میزان پرولین در تیمار ۳۰۰ میلی گرم بر لیتر اسیدهیومیک همراه با تنش ۱۲-بار بود که تفاوت معنی داری با تیمار ۳۰۰ میلی گرم بر لیتر اسیدهیومیک

۳۰۰ میلی گرم بر لیتر اسیدهیومیک همراه با تنش ۶-بار نداشت که در سطح ۳۰۰ میلی گرم بر لیتر اسیدهیومیک تفاوت معنی داری بین سطوح مختلف تنش خشکی مشاهده نشد. بیشترین و کمترین میزان فعالیت آنزیک کاتالاز به ترتیب در تیمارهای ۳۰۰ میلی گرم بر لیتر اسیدهیومیک همراه با تنش ۱۲-بار و شاهد مشاهده شد (جدول ۹).

لیتر اسیدهیومیک نبود. بیشترین میزان فنل کل در تیمار ۳۰۰ میلی گرم بر لیتر اسیدهیومیک همراه با تنش ۱۲-بار بود که تفاوت معنی داری بین سطوح مختلف تنش خشکی در تیمار ۳۰۰ میلی گرم بر لیتر اسیدهیومیک مشاهده نشد. با توجه به نتایج بدست آمده بیشترین میزان فلاونوئید در تیمار ۳۰۰ میلی گرم بر لیتر اسیدهیومیک همراه با تنش ۱۲-بار بود که تفاوت معنی داری با تیمار

جدول ۱۱- مقایسه میانگین اثر سطوح مختلف اسیدهیومیک و تنش خشکی بر برخی از ویژگی‌های فیزیولوژیکی دانه‌رست کینوا

Table 11 - Comparison of the mean effect of different levels of humic acid and drought stress on some physiological characteristics of quinoa seedlings

اسیدهیومیک (میلی گرم بر لیتر)	Humic acid (mg L ⁻¹)	تشنج خشکی (بار) تنش خشکی (بار)	پرولین (نامول بر میلی گرم وزن تر)	Proline (nM/M/mg Fw)	قد کل (میلی گرم بر گرم وزن تر)	Total sugar (mg/g Fw)	فنل کل (میلی گرم بر گرم وزن خشک)	فلاؤنونید (میلی گرم بر گرم وزن خشک)	Flavonoids (mg/g Dw)	فعالیت آنزیم کاتالاز (میلی مول بر گرم دقیقه)	Catalase enzyme activity (mM/g min)
0	0	0.668 ^f	4.216 ^d	4.676 ^c	27.233 ^d	11.711 ^f					
	-6	0.695 ^e	4.266 ^d	4.788 ^{bc}	28.100 ^{cd}	12.289 ^e					
	-12	0.705 ^{cd}	4.473 ^{cd}	4.842 ^b	28.689 ^{cd}	12.567 ^e					
100	0	0.715 ^{cd}	4.524 ^c	4.898 ^b	28.922 ^c	12.578 ^e					
	-6	0.747 ^c	4.621 ^{bc}	4.996 ^b	29.344 ^b	13.00 ^d					
	-12	0.770 ^{bc}	4.739 ^{bc}	5.071 ^{ab}	30.344 ^b	13.233 ^{cd}					
300	0	0.781 ^b	4.931 ^b	5.140 ^{ab}	30.144 ^{ab}	13.356 ^c					
	-6	0.802 ^{ab}	4.989 ^b	5.211 ^a	30.570 ^{ab}	13.689 ^b					
	-12	0.832 ^a	5.089 ^a	5.270 ^a	31.478 ^a	14.00 ^a					

در هر ترکیب تیماری حروف مشابه عدم اختلاف معنی دار و حروف غیرمشابه اختلاف معنی دار را در سطح احتمال ۵٪ نشان می دهد (آزمون چند دامنه‌ای دانکن) In each column means that common letters are significantly different at the 5% level are Duncan's multiple range tests

محیطی و آلاینده‌ها بر گیاهان به شمار می‌روند (Bayramzadeh *et al.*, 2018). با توجه به نتایج بدست

آمده تنش خشکی منجر به کاهش درصد جوانه‌زنی و خصوصیات رشدی دانه‌رست کینوا شد (جدول‌های ۵ و ۶) و میانگین زمان جوانه‌زنی را افزایش داد (جدول ۵). کاهش جوانه‌زنی تحت تنش خشکی در گیاه ذرت

بحث

جوانه‌زنی یکی از مراحل حساس در چرخه رشدی گیاهان به حساب می‌آید. آزمون‌های جوانه‌زنی به دلیل آسانی، حساسیت و کم هزینه بودن، یکی از سریع‌ترین و پرکاربردترین آزمون‌ها در بررسی تأثیر تنش‌های

(Bayat *et al.*, 2021) (*Achillea millefolium*) درصد جوانه‌زنی و شاخص‌های جوانه‌زنی را بهبود بخشد. میانگین زمان جوانه‌زنی شاخصی از سرعت جوانه‌زنی است و پایین بودن میانگین زمان جوانه‌زنی نشان‌دهنده‌ی جوانه‌زنی سریع بذر است (جدول‌های ۳ و ۵). افزایش وزن ترکیب‌گاهه می‌تواند به دلیل طویل شدن سلول و افزایش کارایی جذب آب توسط کاربرد اسیده‌یومیک باشد (Azadbakht *et al.*, 2018).

در سال‌های اخیر پژوهش‌های متعددی انجام شده است و اثر نانوذرات بر جوانه‌زنی و رشد گیاه به منظور کاربرد آن در تولید محصولات کشاورزی مورد بررسی قرار گرفته است. نکه کلیدی در این پژوهش‌ها، نفوذ نانوذرات به درون بذر و افزایش جوانه‌زنی است. نانوذرات می‌توانند به دیواره سلولی نفوذ کنند و نفوذ در بذر به سبب ضخامت قابل توجه پوسته بذر پیچیده و سخت است. نانوذرات می‌توانند منافذ جدیدی را برای نفوذ آب در پوسته بذر ایجاد کنند و به این ترتیب سرعت جوانه‌زنی را افزایش دهن. هم‌چنین نانوذرات می‌توانند کانال‌های آب موجود در پوسته بذر را تنظیم کنند. نانوذرات اثرات مثبت و منفی بر رشد گیاهان دارند و تأثیر آن‌ها به ترکیب، غلظت، اندازه و ویژگی‌های فیزیکی و شیمیایی و نیز به گونه‌های گیاه بستگی دارد و از گیاهی به گیاه دیگر متفاوت است نانوذرات اثر مثبتی بر جوانه‌زنی و استقرار گیاهچه دارند در این زمینه اندازه نانوذره و مرحله‌ی رشدی گیاه حائز اهمیت است (Nguyen *et al.*, 2021).

در لوبیا (*Phaseolus vulgaris*) نانوذرات نقره درصد جوانه‌زنی و خصوصیات رشدی دانه‌رست را افزایش دادند (Savassa *et al.*, 2021). نانوذرات نقره درصد جوانه‌زنی، سرعت جوانه‌زنی، وزن گیاهچه و طول گیاهچه را در گیاه مزرعه (*Satureja hortensis*) افزایش داده است (Nejatzadeh, 2021). در نتیجه می‌توان گفت در کینوا نانوذرات نقره با تأثیر بر منافذ پوسته بذر و با افزایش جذب آب درصد و سرعت جوانه‌زنی را بهبود بخشد.

(*Brassica napus*) (Li *et al.*, 2021) (*Zea mays*) (Gad *et al.*, 2021) نیز گزارش شده است. با توجه به نتایج سایر محققین احتمالاً کاهش جذب آب توسط بذر در شرایط تنش خشکی سبب کاهش فرایندهای فیزیولوژیکی و متابولیکی بذر می‌شود که مواد مورد نیاز برای جوانه‌زنی و رشد دانه‌رست دچار اختلال می‌شود. همین موضوع موجب افزایش مدت زمان لازم برای خروج ریشه‌چه از بذر شده و سرعت جوانه‌زنی را کاهش می‌دهد. شاخص طولی بینه‌ی بذر از ویژگی‌های مهم در سنجش کیفیت بذر است که نقش مهمی در جوانه‌زنی و سبز شدن یکنواخت گیاهچه دارد. شاخص طولی بینه‌ی بذر تحت تأثیر عوامل محیطی قرار می‌گیرد که بر عملکرد گیاه تأثیرگذار است در گیاه کینوا تنش خشکی منجر به کاهش شاخص طولی بینه‌ی بذر شده است (جدول ۵). تحت شرایط تنش خشکی، در گیاه پنبه (*Gossypium hirsutum* L.) کاهش درصد جوانه‌زنی و افزایش میزان پرولین، پروتئین محلول، قند محلول و آنزیم‌های آنتی‌اسیدانی مشاهده شد (Bai *et al.*, 2020).

طبق نتایج به دست آمده، تنش خشکی با افزایش میزان پرولین، قندهای محلول و فعالیت آنزیم کاتالاز همراه بود (جدول ۱۱).

اسیده‌یومیک به دلیل داشتن وزن مولکولی پایین نه تنها سریع جذب بذر می‌شود بلکه جذب سایر عناصر غذایی را مانند نیتروژن و فسفر را نیز افزایش می‌دهد که منجر به تحریک جوانه‌زنی بذر می‌گردد. مکانیسم عمل اسیده‌یومیک بر جوانه‌زنی بذر شامل اثر مستقیم (تولید و عمل هورمون‌های گیاهی بهویژه اسید جیرلیک) و اثر غیرمستقیم (بهبود جذب عناصر غذایی) است. اسیده‌یومیک به دلیل داشتن اثرات شبه‌هورمونی می‌تواند حجم ریشه را افزایش دهد که جذب مواد غذایی افزایش یافته و رشد گیاهچه افزایش یابد (Ebrahimi and Miri Karbasak, 2016).

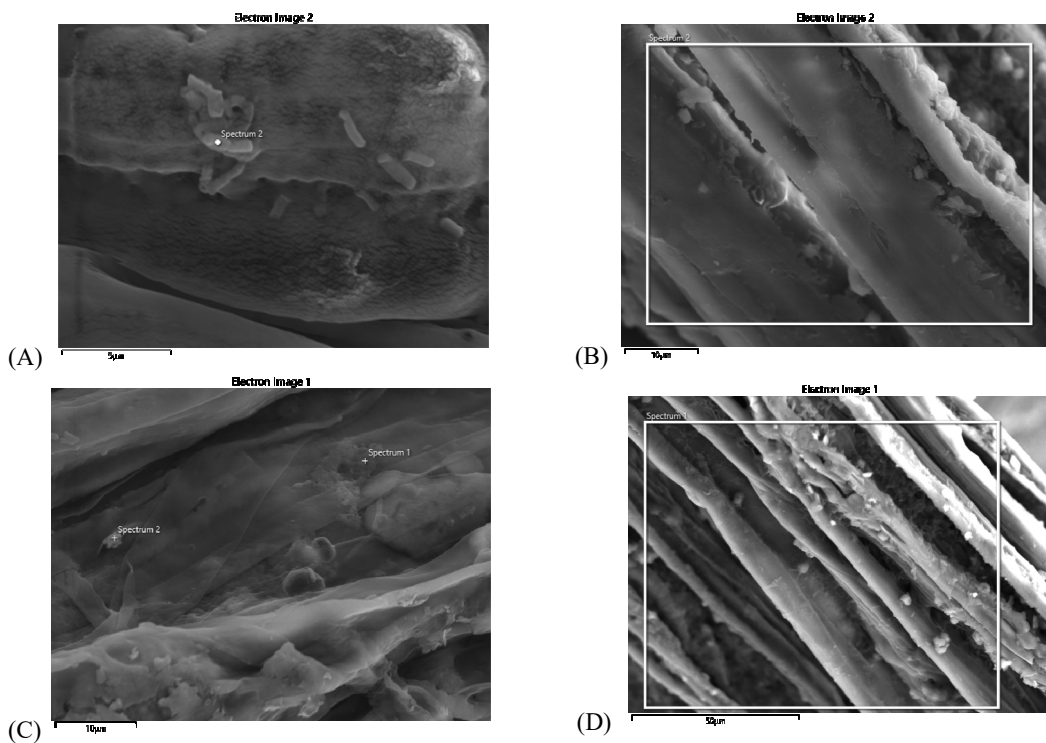
در ذرت (Yigider *et al.*, 2021)، کلم سفید چینی (Chen *et al.*, 2022) (*Brassica chinensis*)

قندهای محلول با حفظ تورژسانس سلول‌های گیاه از تخریب پروتئین‌ها جلوگیری کرده و از غشای سلولی محافظت می‌کنند (Sales *et al.*, 2022). افزایش میزان (*Nigella sativa*) پرولین و قندهای محلول در سیاهدانه (Bayati *et al.*, 2022) و گوجه‌فرنگی (Altaf *et al.*, 2022) (*Solanum lycopersicum*) گزراش شده است. در خیار (*Cucumis sativus*) محلول پاشی برگی نانوکسید روی (ZnO NPs) ۲۵ میلی گرم بر لیتر) تحت شرایط تنش خشکی با افزایش میزان پرولین، فل کل و آنزیم‌های آنتی‌اکسیدانی همراه بود (Ghani *et al.*, 2022). نانوذرات سیلیس در گندم (*Triticum aestivum*) و تحت شرایط تنش خشکی منجر به افزایش طول ساقه‌چه، ریشه‌چه، میزان فسل، فلاونوئید و فعالیت آنزیم کاتالاز شده است (Akhtar and Ilyas, 2022).

ساده‌ترین راه برای تعیین موقعیت نانوذرات در بافت گیاه استفاده از میکروسکوپ است. سطح ویژه بالا در نانوذرات عملکرد سطحی و قدرت چسبندگی آن‌ها را بیشتر می‌کند. حضور و چسبندگی نانوذرات نقره در ریشه‌چه کینوا توسط میکروسکوپ الکترونی تأیید شد (شکل ۳) ولی ورود و نفوذ نانوذرات به داخل بذر بواسطه مشاهده تغییرات در صفات جوانه‌زنی و هم‌چنین صفات رشدی دانه‌رست کینوا قابل تأیید است. بی‌شک با ورود نانوذرات به داخل بذر، ضمن افزایش نفوذپذیری، مسیر ورود آب و اکسیژن فراهم شده لذا تغییرات جوانه‌زنی قابل انتظار است. علاوه بر این نانوذرات می‌توانند با تغییرات هورمونی در رشد گیاهچه به خصوص ریشه تأثیر مثبتی بر سرعت جوانه‌زنی داشته باشند (Fathi *et al.*, 2017). فرض بر این است که نانوذرات ابتدا به سطح ریشه چسبیده و سپس از طریق بافت‌های مختلف در حین انتقال آب و مواد معدنی به ساقه و برگ می‌رسند (Rao and Shekhawat, 2016).

است. دلیل اصلی فعال‌سازی جوانه‌زنی به وسیله نانوذرات به نقش آن‌ها در فرآیند جذب آب به داخل جنین بذر مرتبط است. به عبارت دیگر، این ذرات ریز جذب آب به داخل بذر را تسهیل می‌کنند. تحت تنش خشکی، نانوذرات نقره منجر به جوانه‌زنی مطلوب و رشد و استقرار سریع آویشن باعث و دنایی شد (Ghavam, 2019). جوانه‌زنی مطلوب و رشد سریع گیاهچه، باعث استقرار بهتر گیاه و کاهش رقابت با گیاهان دیگر می‌شود که تحت شرایط تنش خشکی اسیدهیومیک و نانوذرات نقره تأثیر مثبتی بر جوانه‌زنی و شاخص‌های جوانه‌زنی داشتند (جدول‌های ۶ و ۷). طبق نتایج به دست آمده نانوذرات اثرات مفیدی در جوانه‌زنی بذر و خصوصیات موفولوژیکی دانه‌رست‌های گیاهان دارویی تحت شرایط تنش داشته‌اند (Abbas Khalaki *et al.*, 2021). در گیاه سور گوم (*Sorghum bicolor*) اسیدهیومیک تأثیر مثبتی بر خصوصیات رشدی گیاه تحت شرایط تنش شوری داشت (Adam *et al.*, 2022).

در شرایط تنش گیاه رشد خود را متوقف می‌کند در حالی که به‌منظور فراهم کردن بیشتر آب، تجمع مواد محلول سازگار را در سلول‌ها افزایش می‌دهد که به این فرایند تنظیم اسمزی گفته می‌شود و شامل تجمع پلی‌اول‌ها، قندها، اسیدهای آمینه از جمله پرولین می‌باشد (Shaltout *et al.*, 2022). طبق نتایج به دست آمده میزان پرولین تحت تنش خشکی افزایش نشان داد (جدول‌های ۱۰ و ۱۱) که می‌تواند به‌دلیل نقش پرولین در تنظیم اسمزی باشد، تحت شرایط تنش خشکی گیاهان بخش اعظم منابع نیتروژن و کربن خود را صرف سنتز تنظیم کننده‌های اسمزی مانند پرولین می‌کنند که فشار تورژسانس سلول‌های خود را حفظ کنند (Altaf *et al.*, 2022). تحت شرایط تنش پرولین گیاه را در برابر صدمات رادیکال‌های آزاد محافظت می‌کند. تجمع قندهای محلول در شرایط تنش خشکی یکی دیگر از سازوکارهای سازگاری گیاه است که با تغییر بیان بسیاری از ژن‌های متابولیکی همراه است.



شکل ۳- تصاویر گرفته شده با میکروسکوپ الکترونی از ریشه‌چه کینوا. A: تیمار ۲۰ میلی گرم بر لیتر نانوذرات نقره. B: تیمار ۲۰ میلی گرم بر لیتر نانوذرات نقره + ۱۲+ بار تنفس خشکی. C: تیمار ۲۰ میلی گرم بر لیتر نانوذرات نقره + ۳۰۰+ میلی گرم بر لیتر اسیدهیومیک D: تیمار ۲۰ میلی گرم بر لیتر اسیدهیومیک + ۳۰۰+ میلی گرم بر لیتر اسیدهیومیک + ۱۲+ بار تنفس خشکی.

Figure 3- Electron microscopic images of quinoa root. A: Treatment of 20 mg L^{-1} Nano-Ag. B: Treatment of 20 mg L^{-1} Nano-Ag + -12 drought stress. C: 20 mg L^{-1} Nano-Ag treatment + 300 mg L^{-1} humic acid D: treatment 20 mg L^{-1} Nano-Ag + 300 mg L^{-1} humic acid + -12 drought stress.

سلولی نفوذ کنند و منافذ جدیدی را برای نفوذ آب در پوسته بذر ایجاد کنند و به این ترتیب سرعت جوانهزنی را افزایش دهند. با افزایش غلظت نانوذرات نقره و اسیدهیومیک میزان پرولین، قدرهای محلول، فل کل، فلاونوئید و فعالیت آنزیم کاتالاز تحت شرایط تنفس خشکی افزایش نشان داد که بیان گر نقش مثبت نانوذرات نقره و اسیدهیومیک برای افزایش تحمل به خشکی در گیاه کینوا است. با توجه به این که یکی از شاخصهای مقاومت به خشکی داشتن طول ریشه‌چه بیشتر است، نانوذرات نقره و اسیدهیومیک تحت شرایط تنفس خشکی میزان طول ریشه‌چه کینوا را نسبت به شاهد افزایش دادند. اسیدهیومیک و نانوذرات نقره با افزایش در سرعت

نتیجه‌گیری کلی

طبق به نتایج به دست آمده تنفس خشکی برخلاف نانوذرات نقره و اسیدهیومیک تأثیر منفی بر درصد جوانهزنی، شاخصهای جوانهزنی بذر و خصوصیات مورفولوژیکی دانه رست کینوا داشت. اثر متقابل بین نانوذرات نقره و اسیدهیومیک تحت شرایط تنفس خشکی منجر به افزایش درصد جوانهزنی، سرعت جوانهزنی بذر، قدرت بذر، طول گیاهچه، ساقه‌چه و ریشه‌چه دانه رست کینوا گردید. کاهش جذب آب توسط بذر در شرایط تنفس خشکی سبب کاهش فرایندهای فیزیولوژیکی و متابولیکی بذر می‌شود. نانوذرات می‌توانند به دیواره

قابل تأیید است. در نتیجه کاربرد اسیدهیومیک در غلظت ۳۰۰ میلی گرم بر لیتر همراه با ۲۰ میلی گرم بر لیتر نانوذرات نقره برای بهبود جوانهزنی و رشد دانه‌رسانی کینوا تحت شرایط تنش خشکی توصیه می‌شود.

جذب آب و افزایش حجم ریشه اثر مثبتی بر جوانهزنی و تداوم حیات دانه‌رسانی داشتند. حضور و نفوذ نانوذرات به داخل بذر به وسیله‌ی تصاویر میکروسکوپ الکترونی و نیز تغییرات مشاهده شده در صفات رشدی دانه‌رسانی کینوا

Reference

منابع

- Abbasi Khalaki, M., M. Moameri, B. Asgari Lajayer, and T. Astatkie.** 2021. Influence of nano-priming on seed germination and plant growth of forage and medicinal plants. *Plant Growth Regul.* 93(1): 13–28.
- Abdul-Baki, A.A, and J.D, Anderson.** 1973. Vigor Determination in Soybean Seed by Multiple Criteria. *Crop Sci.* 13(6): 630-633.
- Adam Y.A.A., M.E.H. Ibrahim, G. Zhou, G. Zhu, A.M.I. Elsiddig, M.S.E. Suliman, S.B.M. Elradi, and E.G.I. Salah.** 2022. Interactive Impacts of Soil Salinity and Jasmonic Acid and Humic Acid on Growth Parameters, Forage Yield and Photosynthesis Parameters of Sorghum Plants. *S. Afr. J. Bot.* 146(1): 293-303.
- Aebi, H.** 1984. Catalase in vitro. *Meth. Enzymol.* 105(1): 121-126.
- Akhtar, N., and N. Ilyas.** 2022. Role of nanosilicab to boost the activities of metabolites in *Triticum aestivum* facing drought stress. *Plant and Soil.* Doi: 10.1007/s11104-021-05285-1.
- Altaf, M.A., R. Shahid, M.X. Ren, S. Naz, M.M. Altaf, L.U. Khan, R.K. Tiwari, M.K. Lal, M.A. Shahid, R. Kumar, M.A. Nawaz, M.S. Jahan, B.L. Jan, and P. Ahmad.** 2022. Melatonin Improves Drought Stress Tolerance of Tomato by Modulating Plant Growth, Root Architecture, Photosynthesis, and Antioxidant Defense System. *Antioxidants.* 11(2): 1-16.
- Arslan, E. G., Agar, and M. Aydin.** 2021. Humic Acid as a Biostimulant in Improving Drought Tolerance in Wheat: The Expression Patterns of Drought-Related Genes. *Plant Mol. Biol. Rep.* 39(10): 508–519.
- Azadbakht, F., M. Amini Dehagh, and Kh. Ahmadi.** 2018. Effect of Humic Acid and Folic Acid on Seed Germination Properties of *Echinacea Purpurea* under Salt Stress Conditions. *Iran. J. Seed Res.* 8(28): 33-43.
- Bai, Y., S. Xiao, Z. Zhang, Y. Zhang, H. Sun, K. Zhang, X. Wang, Z. Bai, C. Li, and L. Liu.** 2020. Melatonin improves the germination rate of cotton seeds under drought stress by opening pores in the seed coat. *Peer J.* 8(1): 1-29.
- Banan, A., M.R. Kalbassi, M. Bahmani, E. Sotoudeh, S.A. Johari, M.A. Jonathan, and A.S. Kolok.** 2020. Salinity modulates biochemical and histopathological changes caused by silver nanoparticles in juvenile Persian sturgeon (*Acipenser persicus*). *Environ. Sci. Pollut. Res.* 27(10): 10671–10678.
- Bates, L.S., R.P. Waldern, and I.D. Teave.** 1973. Rapid determination of free proline for water stress studies. *Plant Soil.* 39(1): 205-207.
- Bayat, H., F. Shafie, M.A. Aminifard, and S. Daghighi.** 2021. Comparative effects of humic and fulvic acids as biostimulants on growth, antioxidant activity and nutrient content of yarrow (*Achillea millefolium* L.). *Sci. Hortic.* 279(1): 1-12.
- Bayati, P., H. Karimmojeni, J. Razmjoo, M. Pucci, G. Abate, T.C. Baldwin, and A. Mastinu.** 2022. Physiological, Biochemical, and Agronomic Trait Responses of *Nigella sativa* Genotypes to Water Stress. *Sci. Hortic.* 8(3): 1-18.
- Bayramzadeh, V., E. Mortazavi, M.H. Davoodi, Sh. Kheiri, and S.Kh. Hossein Ashrafi.** 2018. The durability of negative effects of silver nanoparticles on seed germination and growth characteristics of Scots pine (*Pinus sylvestris* L.) in soil. *Iranian J. Forest Poplar Res.* 26(1): 1-11. (In Persian)

Chen, D., Zw. Meng, and Yp. Chen. 2021. Effect of humic acid on seedling growth and trace metal accumulation of pak choi (*Brassica chinensis* L.) cultivated on molybdenum slag-spiked soil. Environ. Sci. Pollut. Res. 28(5): 6122–6131.

Chen, Q., Z. Qua, G. Ma, W. Wang, J. Daia, M. Zhang, Z. Weib, and Z. Liua. 2022. Humic acid modulates growth, photosynthesis, and hormone and osmolytes system of maize under drought conditions. Agric. Water Manag. 263. Doi: 10.1016/j.agwat.2021.107447.

Dashab, S., and H. Omidi. 2021. Effects of hydro- and bio-priming on some physiological and biochemical characteristics of quinoa (*Chenopodium quinoa*) seedlings under drought stress. Iran. J. Plant Physiol. 11(3): 3659-3670.

Ebrahimi, M., and E. Miri Karbasak. 2016. Investigation effect of humic acid on germination, seedling growth and Photosynthesis pigments of medicinal plant Isabgol (*Plantago ovata* Forssk). Iran. J. Seed Res. 3(3): 35-46.

Fathi, Z., R.A. Khavari Nejad, H. Mahmoodzadeh, and T. Nejad Satari. 2017. Investigating of a wide Range of concentrations of multi-walled carbon nanotubes on germination and growth of castor seeds (*Ricinus communis* L.). J. Plant Prod. Sci. 57(3): 228-236.

Gad, M., H. Chao, H. Li, W. Zhao, G. Lu, and M. Li. 2021. QTL Mapping for Seed Germination Response to Drought Stress in *Brassica napus*. Front. Plant Sci. 11(1): 1-10.

Ghani, M.I., S. Saleem, S.A. Rather, M.S. Rehmani, S. Alamri, V.D. Rajput, H.M. Kalaji, N. Saleem, T.A. Sial, and M. Liu. 2022. Foliar application of zinc oxide nanoparticles: An effective strategy to mitigate drought stress in cucumber seedling by modulating antioxidant defense system and osmolytes accumulation. Chemosphere. 289(1): 1-12.

Ghavam, M. 2019. Effect of silver nanoparticles on tolerance to drought stress in *Thymus daenensis* Celak and *Thymus vulgaris* L. in germination and early growth stages. Environ. Stresses Crop Sci. 12(2): 555-556. (In Persian, with English Abstract)

Gholami, Sh., M, Amini Dehaghi, and A.R, Rezazadeh. 2022. Effect of different concentrations of selenium on germination characteristics and proline content of quinoa (*Chenopodium quinoa* willd) under drought stress. Environ. Stresses Crop Sci. 14(4): 1029-1040. (In Persian, with English Abstract)

Han, Y., Z. Hou, X. Zhang, K. Yan, Z. Liang, and Q He. 2022. Important changes in germination, seedling tolerance, and active components content due to drought stress on three licorice (*Glycyrrhiza*) species. Ind. Crops Prod. 175(1): 1-11.

Hunter, E.A., C.A. Glasbey, and R.E.L. Naylor. 1984. The analysis of data from germination tests. J. Agric. Sci. 102(1): 207-213.

Irigoyen, J.J., D.W. Emerich, and M. Sanchez-Diaz. 1992. Water stress induced changes in concentrations of proline and total soluble sugars in nodulated alfalfa (*Medicago sativa*) plants. Physiol. Plant. 84(1): 55-60.

Karimi Afshar, A., A. Baghizadeh, and Gh. Mohammadi-Nejad. 2021. Screening of Iranian Cumin (*Cuminum cyminum* L.) Ecotypes under Normal Moisture and Drought Conditions using Tolerance Indices. J. Ethno-Pharmaceutical Prod. 2(1):17-22.

Krizek, D.T., G.F. Kramer, A. Upadhyaya, and R.M. Mirecki. 1993. UV-B response of cucumber seedlings grown under metal halide and high pressure sodium/deluxe lamps. Physiol. Plant. 88(2): 350-358.

Li, H., H. Yue, J. Xie, J. Bu, L. Li, X. Xin, Y. Zhao, H. Zhang, L. Yang, J. Wang, and X. Jiang. 2021. Transcriptomic profiling of the high-vigour maize (*Zea mays* L.) hybrid variety response to cold and drought stresses during seed germination. Sci. Rep. 11(1): 1-17.

Liopa-Tsakalidi, A., G. Kaspiris, G. Salahas, and P. Barouchas. 2012. Effect of salicylic acid (SA) and gibberellin acid (GA₃) pre-soaking on seed germination of stevia (*Stevia rebaudiana*) under salt stress. J. Med. Plant Res. 6(3): 416-423.

Manaa, A., R. Goussi, W. Derbali, S. Cantamess, J. Essemin, and R. Barbato. 2021. Photosynthetic performance of quinoa (*Chenopodium quinoa* Willd.) after exposure to a gradual drought stress followed by a recovery period. Biochim. Biophys. Acta - Bioenerg. 1862(5): 1-13.

- Meda, A., C.E. Lamien, M. Romito, J. Millogo, and O.G. Nacoulma.** 2005. Determination of the total phenolic, flavonoid and pralin contents in Burkina Fasan honey, as well as their scavenging activity. *Food Chem.* 91(3): 571-577.
- Nejatzadeh, F.** 2021. Effect of silver nanoparticles on salt tolerance of *Satureja hortensis* l. during in vitro and *in vivo* germination tests. *Heliyon.* 7(2): 1-11.
- Nejatzadeh, F.** 2021. Effect of silver nanoparticles on salt tolerance of *Satureja hortensis* l. during in vitro and *in vivo* germination tests. *Heliyon.* 7(2): 1-11.
- Nguyen, D.T.C., H.T.N. Le, T.T. Nguyen, T.T.T. Nguyen, L.G. Bach, T.D. Nguyen, and T.V. Tran.** 2021. Multifunctional ZnO nanoparticles bio-fabricated from *Canna indica* L. flowers for seed germination, adsorption, and photocatalytic degradation of organic dyes. *J. Hazard. Mater.* 420(1): 1-16.
- Pagter, M., C. Bragato, M. Malagoli, and H.J. Brix.** 2009. Osmotic and ionic effects of NaCl and Na₂SO₄ salinity on *Phragmites australis*. *Aquat. Bot.* 90(1): 43-51.
- Parveen, A., and S. Rao.** 2015. Effect of Nanosilver on Seed Germination and Seedling Growth in *Pennisetum glaucum*. *J. Clust. Sci.* 26(3): 693-701.
- Ranal, M.A, and D.G. Santana.** 2006. How and Why to Measure the Germination Process? *Rev. Bras. Bot.* 29(1): 1-11.
- Rao, S., and G.S. Shekhawat.** 2016. Phytotoxicity and oxidative stress perspective of two selected nanoparticles in *Brassica juncea*. *3 Biotech.* 6(2): 1-12. DOI: 10.1007/s13205-016-0550-3.
- Sales, E., E. Cañizares, C. Pereira, M.A. Pérez-Oliver, S.G. Nebauer, I. Pavlović, O. Novák, J. Segura, and I. Arrillaga.** 2022. Changing Temperature Conditions during Somatic Embryo Maturation Result in *Pinus pinaster* Plants with Altered Response to Heat Stress. *Int. J. Mol. Sci.* 23(3): 1-16.
- Savassa, S.M., H. Castillo-Michel, A.E. Pradas Del Real, J. Reyes-Herrera, J.P.R. Marques, and H.W.P. Carvalho.** 2021. Ag nanoparticles enhancing *Phaseolus vulgaris* seedling development: understanding nanoparticle migration and chemical transformation across the seed coat. *Environ. Sci. Nano.* 8(7): 493-501.
- Shaltout, K., M. Motawee, D. Ahmed, and M. EL- Etreby.** 2022. Effect of Foliar Spray with K and Mn on the Growth of *Swietenia mahagoni* (L.) Jacq. Under Different Drought Levels. *J. Bas. Environ. Sci.* 9(1): 1-11
- Shen, J., MJ. Guo, Y.G. Wang, X.Y. Yuan, Y.Y. Wen, X.E. Song, S.Q. Dong, and P.Y. Guo.** 2020. Humic acid improves the physiological and photosynthetic characteristics of millet seedlings under drought stress. *Plant Signal Behav.* 15(8): 1-13.
- Shi, P., and M. GU.** 2020. Transcriptome analysis and differential gene expression profiling of two contrasting quinoa genotypes in response salt stress. *BMC Plant Biol.* 20(1): 1-15.
- Yañez-Yazlle, M.F., N. Romano-Armada, M.M. Acrechede, V.B. Rajal, and V.P. Irazusta.** 2021. Halotolerant bacteria isolated from extreme environments induce seed germination and growth of chia (*Salvia hispanica* L.) and quinoa (*Chenopodium quinoa* Willd.) under saline stress. *Ecotoxicol. Environ. Saf.* 218(1): 1-11.
- Yigider, E., M. Taspinar, M. Aydin, and G. Agar.** 2021. Humic acid effects on retrotransposon polymorphisms caused by zinc and iron in the maize (*Zea mays* L.) genome. *Cereal Res. Commun.* 49(2): 193-198.
- Zhou, X., X. Jia, Zh. Zhang, K. Chen, L. Wang, H. Chen, Z. Yang, Ch. Li, and L. Zhao.** 2022. AgNPs seed priming accelerated germination speed and altered nutritional profile of *Chinese cabbage* AXiaoding. *Sci. Total Environ.* 808(1): 1-16.